

東京理工専門学校 ○ 森田 興司  
防衛大学校 加藤 清志

### 1. まえがき

応力拡大係数 ( $K_I \cdot (kg\ cm^{-1.5})$ ) の概念により 前報<sup>1),2)</sup>までに プレーンコンクリートおよび人工軽量骨材コンクリートの破壊じん性評価について報告した。また Mindess, Kesler ら<sup>3)</sup>は Fiber Reinforced ConcreteにおいてJ積分法を提唱し、J値(荷重～たわみ量曲線の面積)がKやG(平面ひずみじん性)よりも有効であることを報告している。

これらをふまえて本報告は J値計算に用いた たわみ量と等価な対応を示す き裂開口変位量を用い、荷重～開口変位量 ( $P \sim \delta$ ) 曲線で  $\delta = \delta_{max}$  の場合の面積 ( $A_I \cdot (kg\ cm)$ ) を求め、その有意性を実験・検討したものである。

### 2. 材料および供試体作製

セメントは普通ポルトランドセメント、骨材は川砂、川砂利を用い、表-1に示す6種類の配合を用いた。練りませにはアイリッヒ型ミキサを用い、 $10 \times 10 \times 42\ cm$  の角柱供試体を作製し、7日間水中養生のあと、さらに21日間湿空養生した。使用した人工切り欠き深さは  $5\ mm$ ,  $10\ mm$ ,  $15\ mm$  の3種類で、岩石切断機(刃幅  $1.5\ mm$ )を用いた。

### 3. 実験方法

図-1に示すような 3等分点載荷法により曲げ荷重を行なった。荷重と開口変位量との関係をX-Yレコーダに、また、破壊進行過程における微小ひびわれの発生・伝播をとらえるために供試体側面中央にAEセンサーを圧着し、これを2ペンオシログラフに記録させた。

### 4. 実験結果および考察

- 1) 図-2に  $P_{max}$  と  $a/W$  との関係を示す。  $P_{max}$  を  $a/W$  の1次関数として近似させると  $P_{max} = -1896.7 a/W + 953.3$  (相関係数  $r=0.766$ ) ……(1) となり、前報と同様な傾向を示している。
- 2) 図-3に  $K_I$  と  $a/W$  との関係を示す。  $K_I$  を  $a/W$  の1次関数として近似させると  $K_I = 120.8 a/W + 36.5$  ( $r=0.809$ ) ……(2) となり、やはり前報同様に  $P_{max}$  より  $a/W$  による変化率は小さく 約  $\frac{1}{16}$  程度の値を示している。
- 3)  $P \sim \delta$  曲線より求めた  $A_I$  と  $a/W$  との関係を図-4に示す。本実験の範囲内では  $a/W$  の変化にかかわらず ほぼ一定の値を示し、 $A_I \approx 1.965\ kg\ cm$  となる。このことから  $A_I$  は  $P_{max}$  および  $K_I$  にくらべ材料特性値として適切であると思われる。
- 4) 図-5に  $A_I$  と  $P_{max}$  との関係を示す。  $A_I$  は  $P_{max}$  の値にかかわらず ほぼ一定の値 ( $\approx 1.965\ kg\ cm$ ) を示し、  $a/W$  に敏感に影響される  $P_{max}$  に対しても ほぼ安定した値を示すことがわかる。
- 5) 図-6に  $A_I$  と  $K_I$  との関係を示す。近似的に  $A_I$  を  $K_I$  の1次関数として求めると  $A_I = 0.021 K_I + 0.966 \approx 1.965$  ……(3) となり、  $A_I$  は  $K_I$  の値にかかわらず ほぼ一定の値を示す。

これらのことから 本実験の範囲内では  $A_I$  は  $a/W$ ,  $P_{max}$ ,  $K_I$  等にかかわらず ほぼ一定の値を示すものと思われる。

5. あとがき

AIの配合等による影響については次報にゆずる。なお、本研究には 防大 堀越技官、鶴田職員の助力を得た。付記して謝意を表する。

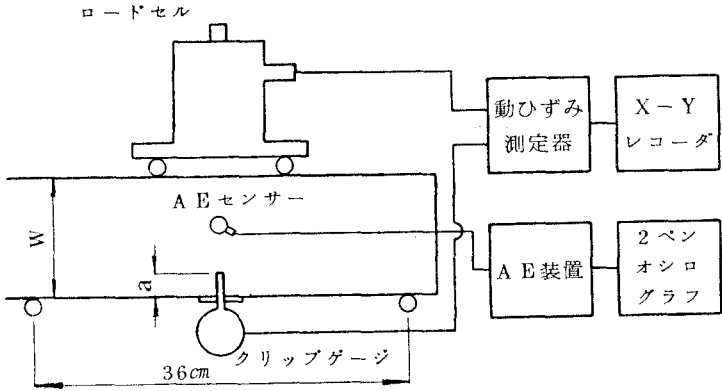


図-1 実験方法

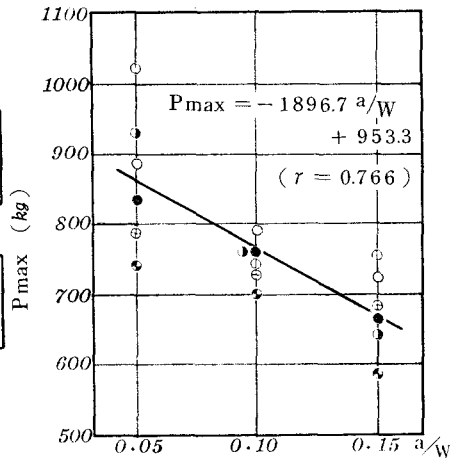


図-2 Pmaxとa/Wとの関係

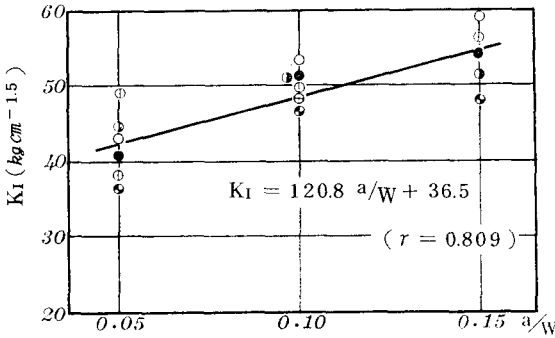


図-3 KIとa/Wとの関係

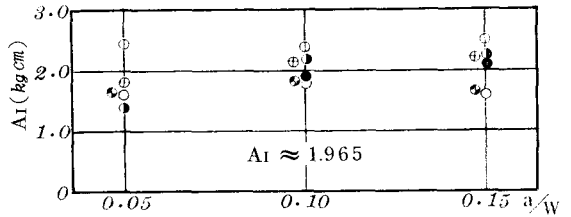


図-4 AIとa/Wとの関係

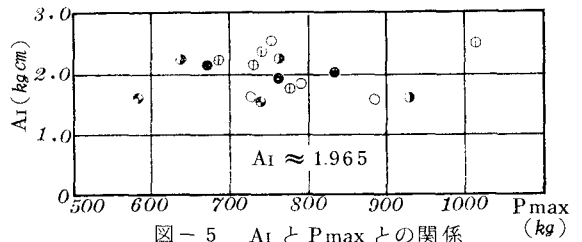


図-5 AIとPmaxとの関係

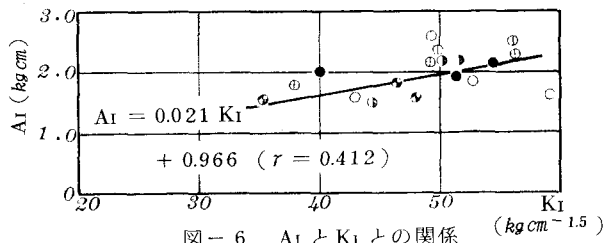


図-6 AIとKIとの関係

表-1 使用配合

配合 番号	配 合 比			スランブ (cm)	記号
	C	S	G		
1	1	1	2	3	○
2				15	●
3	1	1.5	3	3	⊕
4				15	⊙
5	1	2	4	3	⊗
6				15	⊛

6. 参考文献

- 1) 森田・加藤：コンクリートの破壊じん性とAE評価法に関する基礎的研究，セメント技術年報XXXII，昭和54年3月，pp. 268～271。
- 2) 森田・加藤：人工軽量骨材コンクリートの破壊じん性評価に関する基礎的研究，第33回セメント技術大会講演要旨，昭和54年6月，pp. 184～185。
- 3) Mindess, S. and Kesler, C.E.: THE J-INTEGRAL AS A FRACTURE CRITERION FOR FIBER REINFORCED CONCRETE, C&CR, Vol. 7, 1977, pp. 731～742。